

Vysoká škola: **VŠST v Liberci**

Katedra: **části strojů**

Fakulta: **strojná**

Školní rok: **1972/73**

## DIPLOMOVÝ ÚKOL

pro **Jiřího Medka**

obor **04-1-04 Stavba výrobních strojů a zařízení, balicí a pol. stroje**

Protože jste splnil... požadavky učebního plánu, zadává Vám vedoucí katedry ve smyslu směrnic ministerstva školství o státních závěrečných zkouškách tento diplomový úkol:

Název tématu: **Šnekový dávkovač pro středně sypké materiály ke stroji BTH 13**

Pokyny pro vypracování:

Pro vertikální hadicový balicí automat BTH 13 navrhnete šnekový dávkovač. Technické podmínky řešení:

1. Výkon 15 - 30 dávek/min při nepřetržitém chodu
2. Plynule měnitelná dávka od 8.000 do 12.000 cm<sup>3</sup>, nastavování dávky z místa obsluhy
3. Pohán vzduchem o tuku 6 kp/cm<sup>2</sup>, ovládání elektrické 220 V nebo vzduchem
4. Šnek navrhnout konkrétně pro přípravek k malování pokojů za. Remal

*Autorské právo se řídí směrnicemi MŠK pro státní závěrečné zkoušky č. j. 31 727/62-III/2 ze dne 13. července 1962 - Věstník MŠK VIII, sešit 24 ze dne 31. 8. 1962 § 19 autorského zákona č. 115/53 Sb.*

VYSOKÁ ŠKOLA STROJNÁ A TEXTILNÍ  
Ústřední knihovna  
LIBEREC I. STUDENTSKÁ 5

V 56/1973

Rozsah grafických laboratorních prací: Sestavení dávkače v potřebných  
pohledech

Rozsah průvodní zprávy: 40 stran

Seznam odborné literatury: Prof. Ing. Fr. Džázan: Transportní zařízení  
Sestavení stroje BTH 13  
Prospekty a firemní literatura

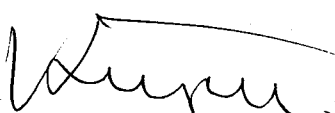
Vedoucí diplomové práce: Ing. Drahoš Fencel

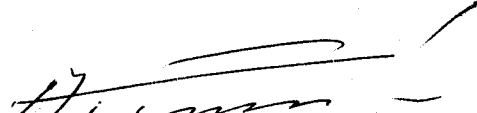
Konsultanti: Václav Krákora

Datum zahájení diplomové práce: 16.10.1972

Datum odevzdání diplomové práce: 6. 7.1973



  
Doc. Ing. Oldřich Krejčíř, CSc.  
Vedoucí katedry

  
Prof. Ing. Dr. techn. Fr. Kotšmid  
Děkan



VŠST Liberec	Šnekový dávkovač	Katedra ČS	
Fakulta strojní		DP-BP-41	str. 1
<u>OBSAH</u>			
	str.		
1. ÚVOD	3		
2. ROZBOR STÁVAJÍCÍCH SYSTÉMU DÁVKOVAČŮ	4		
2.1. Druhy šnekových dávkovačů	5		
2.2. Systémy určující velikost a přesnost dávkování	6		
2.2.1. Řízení dávky odpočítávaní zubů	6		
2.2.2. Řízení dávky pomocí časového relé	7		
2.2.3. Řízení dávky pomocí mikrospínače	8		
2.2.4. Řízení dávky ozubeným hřebenem	9		
3. NÁVRH VLASTNÍHO DÁVKOVAČE	11		
3.1. Výpočet hlavních parametrů	11		
3.2. Základy mechaniky svpkých látek	13		
3.3. Výpočet stoupání šneku	14		
3.4. Výpočet počtu otáček šneku a jeho převodů	17		
3.5. Ukončení tubusu	21		
3.6. Uložení šneku	23		
3.7. Uložení dávkovače na stroji BTH 13	26		
3.8. Řízení velikosti dávky	26		
4. TEORETICKÝ ROZBOR DÁVKOVAČE	28		
4.1. Výpočet velikosti válce	28		
4.2. Rozbor proudění vzduchu	31		
4.2.1. Výpočet rychlosti pístu bez škrtícího ventilu	31		
4.2.2. Funkce škrtících ventilů	32		
4.3. Časový systém dávkování	33		
4.3.1. Elektropneumatický ventil čtýřcestý	34		
4.3.2. Koncový spínač řady KS 6	35		
4.3.3. Schéma elektrického a pneumatického obvodu	36		
5. ZÁVĚR	38		

<b>VŠST Liberec</b>	Šnekový dávkovač	Katedra ČS	
<b>Fakulta strojní</b>		DF-BF-41	str. 2

Použitá literatura	str. 30
Poděkování	40
Prohlášení	41

Příloha: 2 x A0 ... výkres sestavení  
4 x ..... kusovník

<b>VŠST Liberec</b>	Šnekový dávkovač	Katedra ČS	
<b>Fakulta strojní</b>		DP-BP-41	str. 3

## 1. ÚVOD

V současné době, kdy je největší rozmach techniky a zavádění mechanizace a automatizace do výroby, je také rozvoj některých oborů, které byly v minulosti opomíjeny. Mezi takové obory a specializace v průmyslu patří také obalová technika. Tato technika je dnes nová, tudíž prožívá rychlý vývoj. To techniky balení zahrnujeme několik etap a fází jako např. výroba obalu, dávkování obsahu, vlastní balení apod. Balení výrobků se proto stalo nedílnou součástí celé výroby.

V ČSSR je soustředěna výroba balicích strojů v Blatnických strojárnách n.p. Vlašim, menší výroba je v Chotěbořských strojárnách n.p. Chotěboř. V zahraničí je v produkci balicích strojů na prvním místě NSR, dále USA, Velká Británie, Švýcarsko, Itálie, Japonsko apod.

Firmy vyrábějící balicí automaty:

NSR - Optima, Hötliker Karg, Hesser

GB - Dolman, Rogers, Autopack, Brecknell

Švýcarsko - Sig

Švédsko - Arenco

NDR - Schokopack

Balicí stroje dělíme na stroje a zařízení pro přípravu a výrobu obalu, stroje pro vlastní balení a stroje pro konečnou úpravu obalu, etiketování apod. Stroje nebo zařízení pro přípravu obalu a stroje pro vlastní balení tvoří zpravidla jeden celek čili balicí automat.

VŠST Liberec	Šnekový dávkovač	Katedra ČS	
Fakulta strojní		DP-BF-41	str. 4

Požadavky na obal, přesnost dávky a vůbec na celou techniku jsou v některých případech dosti značné, tak např. obal musí zbránit nežádoucímu účinku baleného materiálu na okolí, nebo naopak okolní atmosféra nesmí mít přímý styk s obsahem. Z tohoto důvodu je proto mnoho druhů obalových materiálů a folií, které tímto požadavkům a nárokům spotřebitele vyhoví.

Jak jsme uvedli požadavky na obal, přesnost dávky a celé techniky, tak důležitou úlohu tvoří dávkování a obsahu tzn. velikost dávky a její přesnost. Proto se stalo dávkovací zařízení jako nejdůležitější částí balicího stroje.

Způsoby dávkování:

- a/ odpočítáváním kusů jedné dávky
- b/ váhové dávkování
- c/ objemové dávkování
- d/ objemově-váhové dávkování

Úkolem této diplomové práce je navrhnout šnekový dávkovač realizující bod c/ tzn. objemové dávkování. Tento dávkovač však nejlépe vyhovuje sypkým materiálům jako např. obilí, cukru, kávy, ale také přípravku k malování pokojů zn. Remal, což je zde cílem.

## 2. ROZBOR STÁVAJÍCÍCH SYSTÉMŮ DÁVKOVACÍ

Šnekových dávkovačů se hlavně používá k dávkování obtížně sypkých materiálů jak je psáno v úvodu, velikost a přesnost dávky je potom ovlivněna dalšími faktory jako průměrem dávkovacího šneku, počtem otáček tohoto šneku

a přesné nastavení dávkování. Toto se stalo velkým problémem dávkovacích zařízení. Je zde nutno zkloubit velikost průměru šneku a počet jeho otáček. Čím větší bude šnek a tím tedy menší počet otáček, tak bude dávkování méně přesné. Naopak čím bude šnek menší a tudíž počet otáček na jednu dávku větší, tak se celý problém vlivem dynamiky materiálu značně zkomplikuje.

### 2.1. Druhy šnekových dávkovačů

Všechny druhy šnekových dávkovačů jsou si částečně podobné protože se každý skládá z šneku, tubusu, násypky, apod. Liší se především ve způsobu určení velikosti dávky a některých dalších zařízeních jako je hlídání hladiny materiálu v násypce, míchání ve směru nebo proti směru otáčení šneku ukončení tubusu, ovládání dávkovače apod.

Tak např. na stroji Rovema, který je výrobkem NSR je výška hladiny kontrolována a současně regulována přístrojem zvaným Nivopilot, založeném na principu ultrazvuku. Tubus je ukončen mřížkou, kterou tvoří paprskovitě rozložené kolíky, což má velkou výhodu z hlediska mechaniky sypkých látek. Pohon dávkovacího šneku je obstaráván elektromotorem a spuštění a zastavení šneku je vyvozeno třecí spojkou a brzdou ovládanou elektromagneticky.

Dalším způsobem hlídání hladiny a ukončení tubusu je vyvinuto na stroji BTM 11 jež je výrobkem Blanických strojírny n.p. Vlašim. Výška materiálu v násypce se reguluje pomocí pyžové membrány a konec tubusu je opatřen náustkem v němž je otvor asi 3x menší než vnitřní průměr tubusu,

### 2.2. Systemy určující velikost a přesnost dávkování

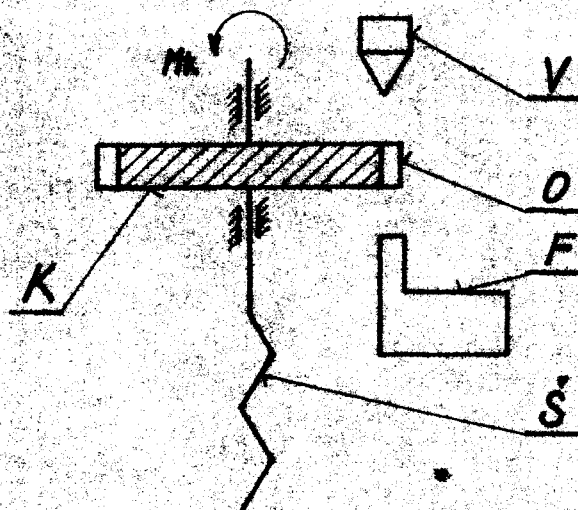
Nejdůležitějším však zůstává jakým způsobem určit počet otáček šneku, popřípadě zlomky otáček.

Toto se dosud provádí několika způsoby:

- a/ odečítání zubů sledované fotonkou
- b/ časovým relé, které určuje dobu otáčení šneku
- c/ mikrospínačem jehož hrot přichází do styku s vačkou
- d/ ozubeným hřebenem, jehož zdvih je dán poloměrem kliky

#### 2.2.1. Rízení dávky odpočítáváním zubů

Přesnost dávky je dána počtem zubů na obvodě kotouče určitého průměru. Čím větší bude počet zubů tím přesnější bude dávka. Na obr. 2.2./1/ je zakresleno uspořádání tohoto systému.



- Mk....pohon
- V....vysilač
- K....kotouč
- O....ozubení
- F....fotonka
- Š....šnek

obr. 2.2./1/

Funkce tohoto zařízení spočívá v tom, že jakmile se kotouč a s ním i šnek, který je buď v přímém závěru s kotoučem nebo svázan předlohou, otáčí, tak je paprsek

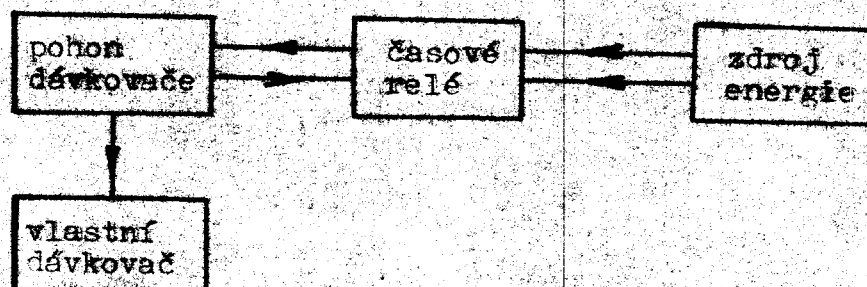
vysílání vysílačem v přerušování, vlivem zubů a zubových mezer. Čili to tzn., že je fotonka střídavě osvětlována a tím i proud procházející fotonkou je impulsivní. Tyto impulsy jsou vedeny do snímače, který už registruje a zpracovává počet impulsů a tím tedy i počet proběhnutých zubů mezi vysílačem a fotonkou. Po žádaném počtu impulsů se pak šnek zastaví.

Tento způsob je poměrně přesný a efektivní, ale nevýhoda je v tom, že je jednak drahý a potom při náhodném porouchání si vyžádá odbornější obsluhu a opravu.

### 2.2.2. Řízení dávky pomocí časového relé

Tento způsob je poměrně jednoduchý a přesnost dávky je daná časovou přesností vypínání a zapínání relé. To znamená, že otáčeli se šnek konstantní úhlovou rychlostí, tak je časem dán počet otáček na jednu dávku jakmile relé vypne a přerušit dodávku elektrické energie pro pohon šneku. Je tedy na snadě, pokud chceme, aby byla dávka co nejpřesnější, abychom stanovili počet otáček šneku co nejmenší a čas sepnutí co největší. Na obr. 2.2./2/ je schéma tohoto zařízení.

Schéma:

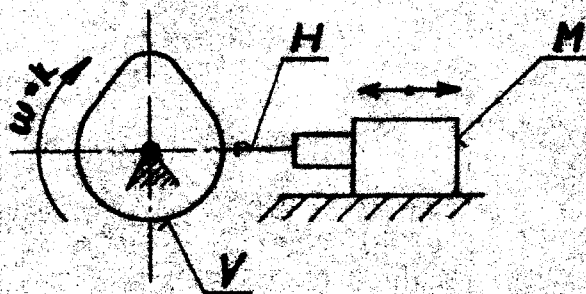


obr. 2.2./2/

Výhodou tohoto způsobu řešení dávky je v tom, že je levný, ale naproti tomu nevýhodou je poměrně malá přesnost dávkování.

### 2.2.3. Rízení dávky pomocí mikrospínače

Princip tohoto řízení je dosti podobný předešlému způsobu, protože se zde využívá konstantní úhlové rychlosti šneku a časového omezení dodávky proudu. Liší se pouze tím, že zde není časové relé, ale mikrospínač zapínaný a vypínaný nekrouhlým kotoučem čili vačkou. Tento systém je zakreslen na obr. 2.2./3/



M.....mikrospínač

H.....hrot

V.....vačka

obr. 2.2./3/

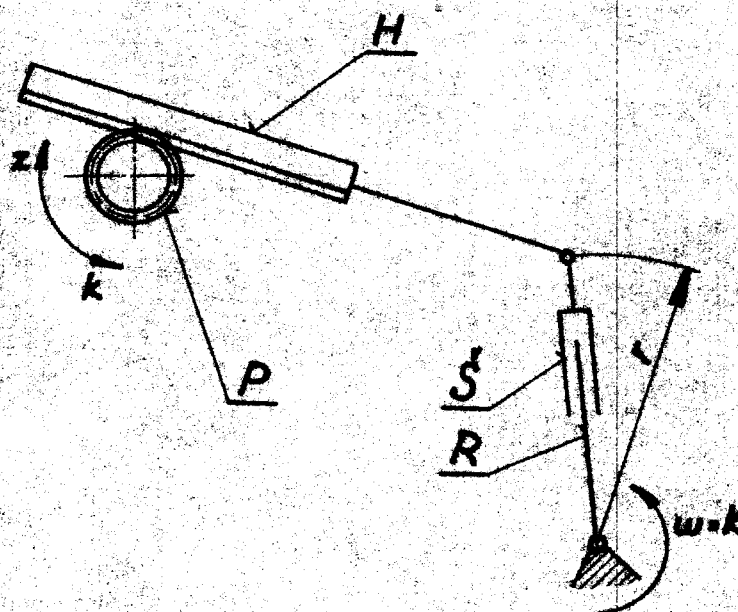
Vačka V, se otáčí konstantní úhlovou rychlostí přičemž se současně otáčí šnek se stejnou rychlostí popřípadě vyšší. Toto je zajištěno určitým převodem mezi vačkou a šnekem. Dále potom, když se povrch vačky dotkne hrotu H, mikrospínače M, tak nám mikrospínač přerouší dodávku energie pro pohon šneku. Dálším otáčením vačky nastane to, že její obvod opustí hrot mikrospínače a opět začne protékat proud a šnek se uvede do pohybu.

Velikost dávky se pak seřizuje přibližováním nebo oddalováním mikrospínače od vačky, přesnost potom je daná stoupáním obvodu vačky.

Opět výhoda a nevýhoda je v tom, že zde odpadá elektronkové zařízení, ale naproti tomu je to už komplikovanější po stránce vazby šneku s vačkou.

#### 2.2.4. Rízení dávky ozubeným hřebenem

Vedle dalších menších úprav ve smyslu řízení dávky je tento způsob zhruba poslední. Jak je psáno v odstavci 2.2. je tento způsob zařízen na principu zdvihu hřebene, který je v záběru s pastorkem. Vysvětlení podáme z obr. 2.2./4/.



P....pastorek

H....hřeben

Š....šroub

R....rameno

r....poloměr kliky

k....kladný směr

z....zéporný směr

obr. 2.2./4/

VŠET Liberec	Šnekový dávkovač	Katedra ČS	
Řada strojí		DP-BP-41	str. 10

Otáčením ramene R, je uveden hřebec H v translačně-rotaci pohybu. Tento hřebec jak je výše uvedeno je v zá-  
běru s pastorkem P, který má vazbu se šnekem prostředni-  
ctvím valnoběžky, kterou zde není nutno pro pochopení  
p rincipu krealit. Čili vlivem pohybu hřebce se otáčí  
pastorek.

Nyní je nutno rozlišit kladný a záporný směr otáčení  
pastorku, protože při otáčení pastorku v kladném směru  
se uvádí do pohybu šnek a při otáčení v záporném smyru  
je šnek v klidu vlivem prokluzu válečka ve valnoběžce.

Tento způsob dávkování je použit na stroji BTH 11  
Blanických strojírnách ve Vlašimí. Pohon kliky je obsta-  
ráván elektromotorem a vložena řetězová převodem.  
Velikost dávky lze seřizovat šroubem S, tzn. zvětšovat  
nebo zmenšovat poloměr kliky. Tím se zvyšuje nebo snižuje  
zářiv hřebce a současně počet otáček pastorku, který  
ná vazbu se šnekem.

Seřizení velikosti i přesnosti dávky si však vyžá-  
dá zastavení stroje, což je velká nevýhoda, protože  
to vlastní seřizení trvá dlouho. Musíme stroj znovu  
zastavovat a spouštět tak dlouho, až docílíme žádané  
přesnosti dávkování. Proto jsem byl postaven před problém,  
mimo jiných vylepšení, abych tuto nevýhodu odstranil.

Téma této práce je podobné s posledním způsobem  
řizení dávky tzn. zářivou ozubeného hřebce, protože zde  
mám za úkol, jak je uvedeno v zadání, vyhovět požadavkům  
Blanických strojíren.

## 3. NÁVH VLASTNÍHO DÁVKOVAČE

Požadavky na dávkovač:

- a/ nastavení velikosti dávky z místa obsluhy ze chodu stroje
- b/ udržování konstantní výšky hladiny materiálu v násypce
- c/ samostatný pohon dávkovacího šneku

Parametry dávkovače:

Kadence..... $K=5 + 15$  dávek/min.Velikost dávky. $V=8 + 12$  dm<sup>3</sup>Maxim. Ø tubusu. $D=140$  mmVelikost násypky  $4 + 5$  dávek tj. asi 45 lKolisání hladiny v násypce je  $\approx 50$  mm3.1. Výpočet hlavních parametrů

V zadání je uvedeno, že čas dávkování je polovinou času jednoho cyklu, čili

$$T_d = \frac{1}{2} T_c$$

 $T_c$ .....čas cyklu

 $T_d$ .....čas dávky

Výpočet času cyklu

$$T_c = \frac{1}{K}$$

 $K$ .....kadence

 $K=5 + 15$  1/min

$$T_c = \frac{60}{5} + \frac{60}{15} = 12 + 4 \text{ s.}$$

Výpočet času dávky

$$T_d = \frac{1}{2} / 12 + 4 / = 6 + 2 \text{ s.}$$

VŠST Liberec	Šnekový dávkovač	Katedra ČS	
Fabrikát stroje		DF-9P-4I	str. 12

Maximální zdvih hřebene L je 200 mm /viz. pos. 15/.  
Tento zdvih však odpovídá největší dávce tj. 12 dm.

Naopak minimální dávka tj. 8 dm odpovídá zdvih 133 mm.

Dále čas dávky  $T_d$  pro maximální dávku je 6 vteřin  
a čas pro minimální dávku je 2 vteřiny.

Z těchto údajů vypočítáme rychlost hřebene.

$$v = \frac{L}{T_d}$$

$v$  = rychlost hřebene

$$L = 133 + 200 \text{ mm}$$

$$T_d = 2 + 6 \text{ s}$$

$$v = \frac{133}{2} + \frac{200}{6} = 66 + 33 \text{ mm/s.}$$

Jak je vidět tak nám zde vychází jedna rychlost větší a jedna menší. Zbývá tedy se rozhodnout, které rychlosti dáme přednost, protože seřizování rychlosti hřebene nelze provádět současně se seřizování velikosti dávky. Bylo by to pracné a zároveň i zbytečné.

Abychom však zachovali parametry dávkovače tak zvolíme tu větší rychlost a to bude mít za následek, že počet maximálních dávek po 12 dm<sup>2</sup> bude nikoliv 5/min, ale 10/min. Tím pádem se zvýší celý výkon stroje.

Výpočet výkonu

$$Q = k \cdot V \cdot T$$

Q.....výkon

k.....kadence

$$Q = /10 \cdot 12 \div 15 \cdot 8 / \cdot 0,926 =$$

V.....velikost dávky

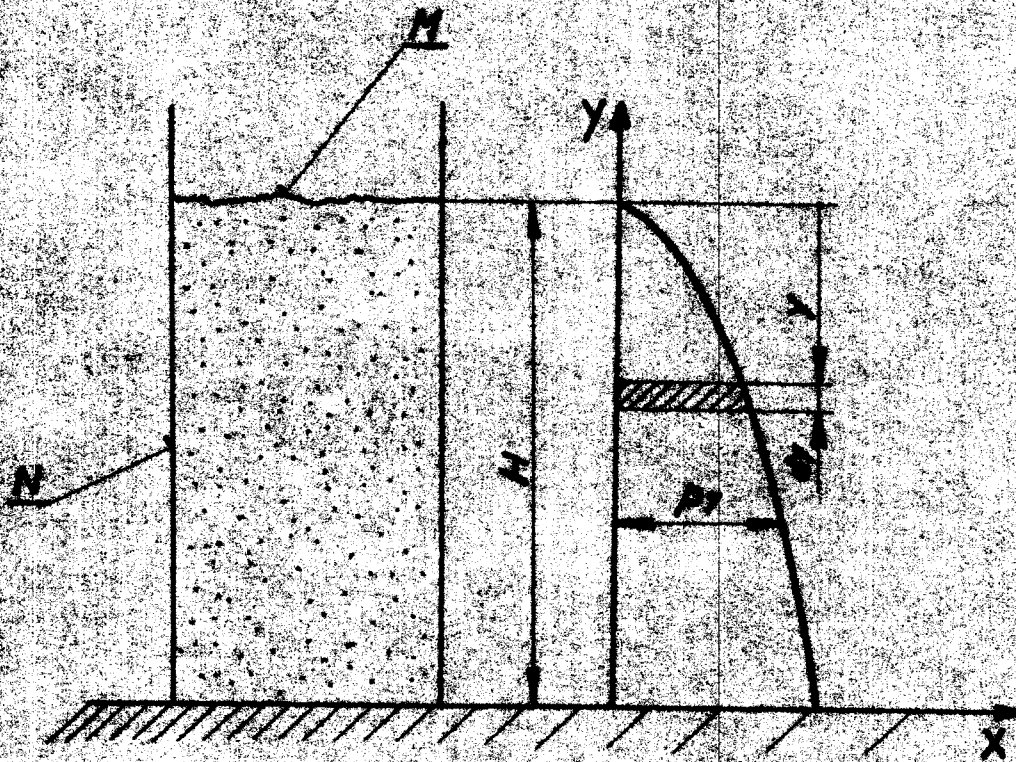
$$= 111 \text{ kg/min.}$$

T.....vypná váha

### 3.2. Základy mechaniky sypkých látek

V tomto odstavci odvodíme několik vztahů, které budou mít význam pro výpočet a konstrukci sněku.

Tlaky v sypném materiálu jsou obdobné jako u tekutin až na některé maličkosti jako je vnitřní tření látky atd. Na obr. 3.2./1/ je vyobrazen průběh tlaků podle níže uvedených rovnic.



N.....násypta

M.....materiál

H.....výška hladiny materiálu v násypte

obr. 3.2./1/

Rovnice Janssenovy:

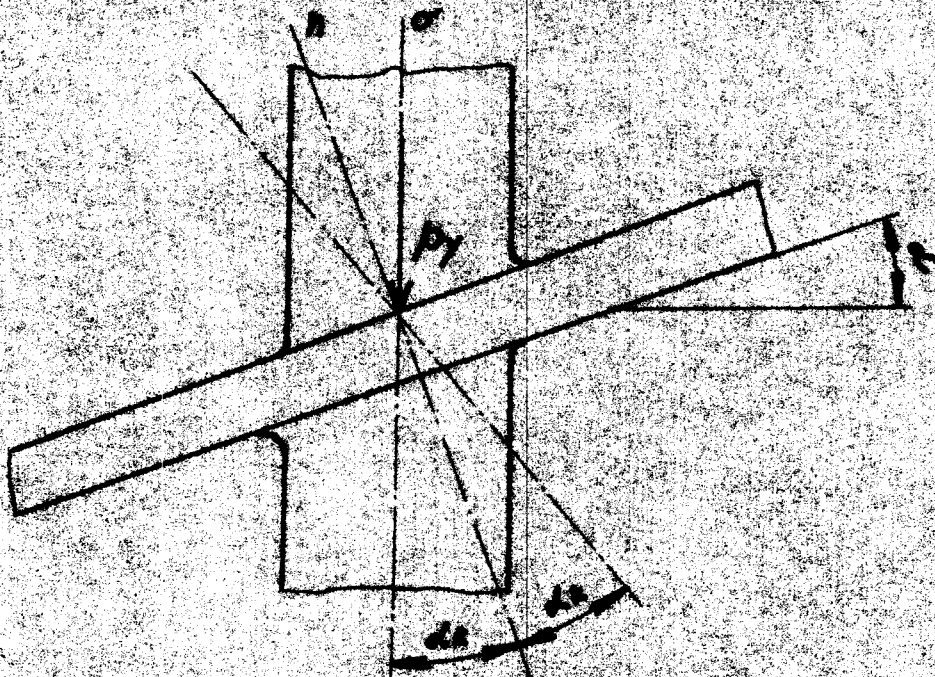
$$P_y = \frac{1 \cdot \gamma}{1 \cdot 0 \cdot k} \left( 1 - e^{-\frac{f \cdot 0 \cdot k \cdot y}{r}} \right)$$

$$P_x = \frac{1 \cdot \gamma}{1 \cdot 0} \left( 1 - e^{-\frac{f \cdot 0 \cdot k \cdot y}{r}} \right)$$

Tyto rovnice použijeme v dalším odstavci a sice pro výpočet stoupání šroubovice.

### 3.3. Výpočet stoupání šneku

Stoupání šneku počítáme z hlediska minimálního odporu tzn., abychom šnek poháněli co nejmenším kroutícím momentem. Proto je nutno, aby bylo stoupání šneku kritické, tzn. šnel stoupání byl roven úhlu tření. Z toho plyne, že bude šnek vzhledem k materiálu nít dopravovaného, na hranici samorevnosti. Toto je znázorněno na obr. 3.3./1/

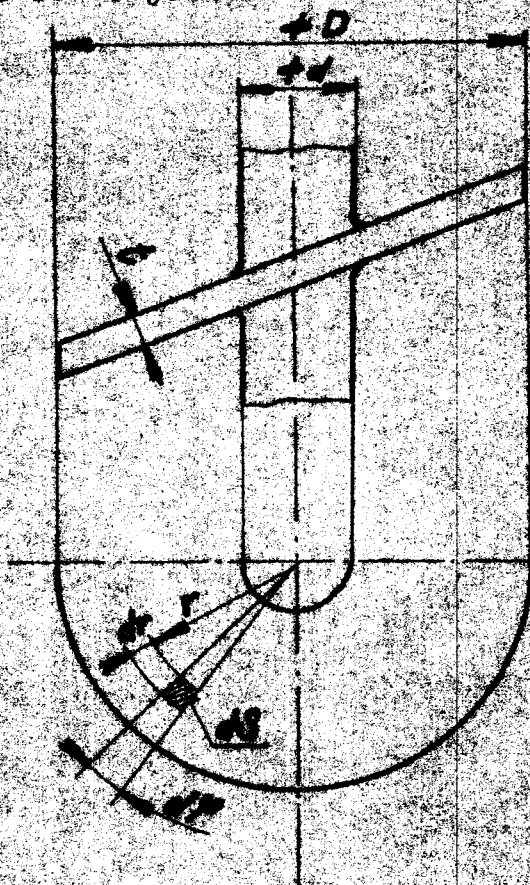


obr. 3.3./1/

- o.....osa rotace šneku  
 n.....normála na šnekovici  
 $\alpha$ .....třecí úhel mezi látkou a šnekovici,  
 měřením bylo zjištěno, že je  $25^\circ$ .  
 p.....tlak látky na šnekovici  
 $\lambda$ .....úhel stoupání šroubovice

U šroubové plechy však tato vlastnost nebude jednodušá, protože se úhel stoupání mění v průběhu poloměru. Od středu k obvodu nám úhel klesá a naopak od obvodu ke středu šneku zase roste.

Je proto nutno si ještě na dalším obr. 3.3./2/ ujasnit o co se jedná.



obr. 3.3./2/

- D.....vnitřní průměr tubusu, který je 135 mm
- d.....průměr jádra šneku tj. 30 mm
- t.....tloušťka šnekovnice 2 mm

Z obrázku je patrné, že od středu k obvodu se zvětšuje elementární plocha dS. Je proto nutné nabychem si uvědomit základní vztahy pro výpočet momentů šneku.

Vyjde se z podmínky, že krotitel moment šneku bude nulový tj.  $M_{kro} = 0$ .

Potom platí:

$$dM_{kro} = r \cdot dF \cdot r \cdot \sin(\alpha) \cdot d\alpha \cdot r \cdot \sin(\alpha) \cdot d\alpha \cdot r \cdot dS =$$

$$r \cdot \sin^2(\alpha) \cdot d\alpha \cdot r \cdot dF \cdot r \cdot \sin^2(\alpha) \cdot d\alpha \cdot r \cdot dS =$$

$$r \cdot \sin^2(\alpha) \cdot d\alpha \cdot r \cdot dF \cdot r \cdot \sin^2(\alpha) \cdot d\alpha \cdot r \cdot dS =$$

$$\frac{r \cdot \sin^2(\alpha) \cdot d\alpha \cdot r \cdot dF \cdot r \cdot \sin^2(\alpha) \cdot d\alpha \cdot r \cdot dS}{1 + \cos(2\alpha)} = \frac{r \cdot \sin^2(\alpha) \cdot d\alpha \cdot r \cdot dF \cdot r \cdot \sin^2(\alpha) \cdot d\alpha \cdot r \cdot dS}{2 \cdot \cos(\alpha) \cdot \sin(\alpha)}$$

$$\frac{r \cdot \sin^2(\alpha) \cdot d\alpha \cdot r \cdot dF \cdot r \cdot \sin^2(\alpha) \cdot d\alpha \cdot r \cdot dS}{2 \cdot \cos(\alpha) \cdot \sin(\alpha)} = \frac{r \cdot \sin^2(\alpha) \cdot d\alpha \cdot r \cdot dF \cdot r \cdot \sin^2(\alpha) \cdot d\alpha \cdot r \cdot dS}{2 \cdot \cos(\alpha) \cdot \sin(\alpha)}$$

$$M_{kro} = \frac{r \cdot \sin^2(\alpha) \cdot d\alpha \cdot r \cdot dF \cdot r \cdot \sin^2(\alpha) \cdot d\alpha \cdot r \cdot dS}{2 \cdot \cos(\alpha) \cdot \sin(\alpha)}$$

O.....úhel úvodu šneku

r.....průměr šneku

$\alpha$ .....úhel

$d\alpha$ .....úhel



Po integraci výše uvedeného vzápisu obdržíme velice komplikované rovnice, ze které se dá vypočítat stoupání s, pouze pomocí iterací.

Myslím, že zde není náhod, ani by to nepřinášelo žádný užitek vyčíslovat tyto složité rovnice a tvorce, které by zabrali nejméně 5 - 10 stránek, tak se raději spokojíme s konkrétním výsledkem.

Stoupání šroubovice vyšlo 1,77 mm a přesností asi 1 mm. Bude tedy poměr mezi stoupáním a průměrem šneku jedna, což je u původního děkovače 1:1.

### 3.4. Výpočet počtu otáček šneku a jeho průměru

Počet otáček šneku na jednu dávku se vypočítá z celkového objemu dávky V, ze stoupání šneku s, z vnějšího průměru tělesa D, z průměru jádra šneku d, z tloušťky šnekovnice t, viz. obr. 3.3./2/.

$$V = \frac{\pi D^2}{4} \cdot l - \frac{\pi d^2}{4} \cdot l - c \cdot l \cdot n$$

$$c = \frac{t}{\cos \alpha}$$

$$n = \frac{V}{\frac{\pi D^2}{4} \cdot l - \frac{\pi d^2}{4} \cdot l - c \cdot l}$$

n ..... střední úhel  
stoupání šroubovice

$$n = \frac{1,0 \cdot 10^3}{\frac{\pi \cdot 1,35^2}{4} \cdot 1,0 - \frac{\pi \cdot 0,5^2}{4} \cdot 1,0 - 0,1}$$

$$V = 8 + 12 \text{ cm}^3$$

$$D = 1,35 \text{ dm}$$

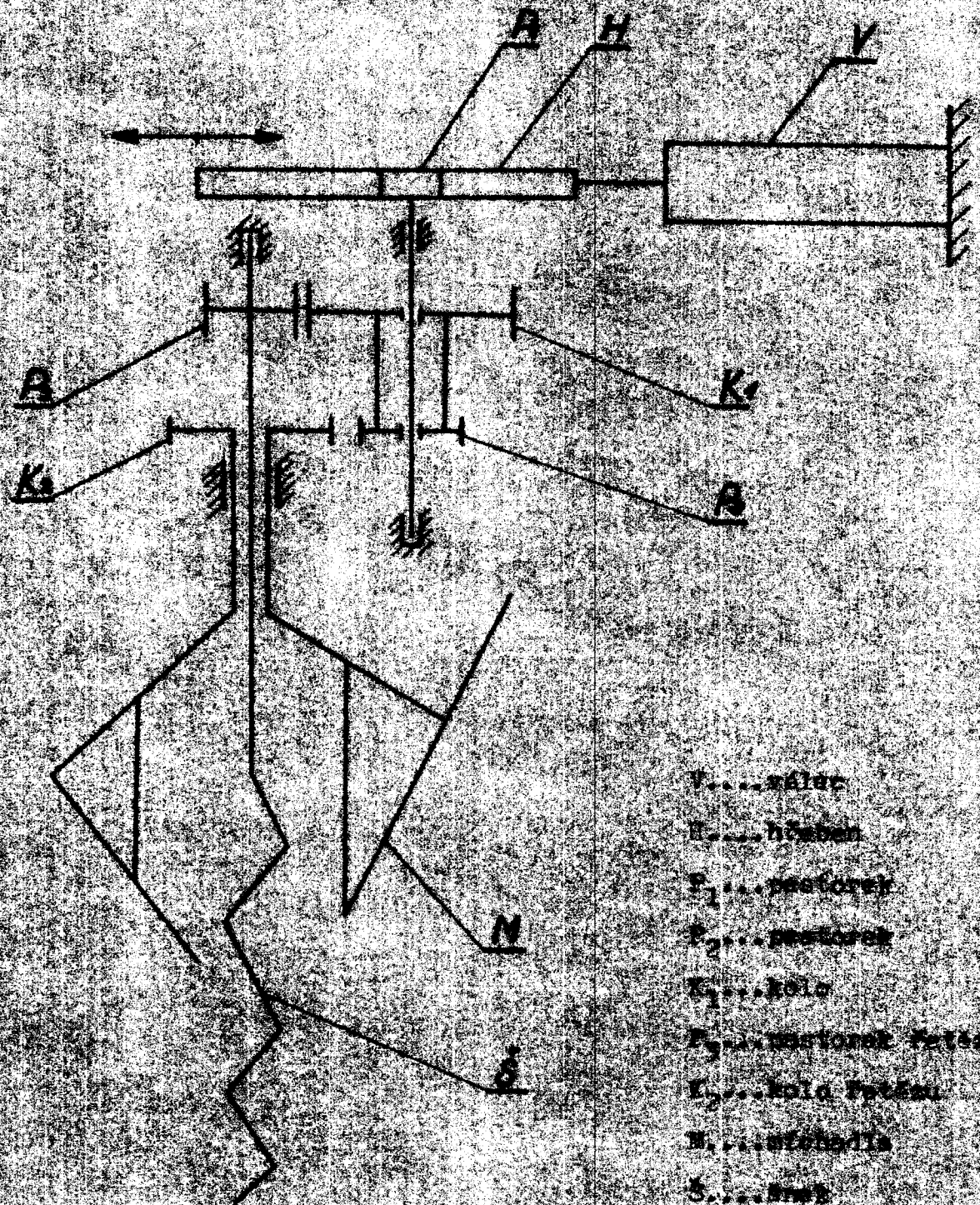
$$d = 0,5 \text{ dm}$$

$$t = 1,35 \text{ dm}$$

$$c = 0,1 \text{ dm}$$

$$n = 4,72 \div 7,07 \text{ ot./dávku}$$

Na obr. 3.4./1/ je schéma převodu od pneumatického válce až ke šlaku.



- V...válec
- H...hřídel
- P<sub>1</sub>...převodník
- P<sub>2</sub>...převodník
- K<sub>1</sub>...kolo
- K<sub>2</sub>...kolo
- K<sub>3</sub>...kolo
- K<sub>4</sub>...kolo
- K<sub>5</sub>...kolo
- K<sub>6</sub>...kolo
- N...šlák
- Q...šlák

Jak je uvedeno v kapitole 3.1. je největší dovolená velikost hřebene 200  $\mu\text{m}$ . Tomu tedy odpovídá největší dávka, ke které potřebujeme 7,07 otáček.

Pastorek  $P_1$  má 17 zubů modulu 2 mm. Při jeho valivém průměru je

$$D_1 = z_1 \cdot m = 17 \cdot 2 = 34 \text{ mm.}$$

Báň jeho otvůr je

$$D_2 = \pi \cdot D_1 = 3,14 \cdot 34 = 107 \text{ mm.}$$

Počet otáček pastorku  $P_1$  na maximální dávku bude

$$N_1 = \frac{L}{D_2} = \frac{200}{107} = 1,873 \text{ ot/dávka.}$$

To znamená, že převod mezi pastorkem  $P_1$  a šnekem S bude

$$i = \frac{N}{N_1} = \frac{7,07}{1,873} = 3,77.$$

Počet zubů pastorku  $P_2$  je také 17, tudíž počet zubů kola  $K_1$  bude

$$K_1 = i \cdot z_2 = 3,77 \cdot 17 = 64,2.$$

To však není, proto velina počet zubů vedlého válce je 65, což byla navržena předávka. Při skutečném převodu bude

$$\frac{65}{17} = 3,82.$$

Dále se budeme zabývat převodem pro míchadla.

Z důvodů lepšího plnění prostoru mezi šnekem a tubusem je výhodné, aby se míchadla otáčela v opačném směru než-li šnek. Toto nám výhodně umožní řetězový převod. Kdybychom chtěli použít ozubeného soukolí jak je tomu u pastorku  $P_1$  a šneku, museli bychom vložit mezi převod pro míchadla kolečko, které by zajistilo opačný směr otáčení.

Uvolní, že by to bylo zbytečně komplikované a dvojnásobný pasážírový řetěz plně zajistí spolehlivost chodu stroje.

Zůstává však problém jak volit převod řetězových kol. Podle mého názoru by bylo nejvýhodnější, aby se míchadla otáčela alespoň jednou do kola a to i při minimální dávce.

Znamená to tedy, že pastorek  $P_1$  bude mít dle následujícího vzorce menší počet otáček než pro maximální dávku.

$$N_1 = N_2 \frac{z_2}{z_1} = 1,875 \frac{z_2}{z_1} = 1,25 \frac{z_2}{z_1} \text{ ot./dávku.}$$

Tento počet otáček znamená u převod řetězových kol  $P_1$  a  $K_2$ . Z důvodů konstrukčního uspořádání voluběrky a jejich rozměrů jsme byli nuceni volit počet zubů pastorku  $P_1$  22 a počet zubů kola  $K_2$  27. Skutečný převod bude

$$\frac{27}{22} = 1,23$$

Číslo 0,02 má nezanedbatelný vliv na neprotáčecí funkci míchadla.

### 3.3. Ukončení tubusu

Způsoby ukončení tubusu jsou různé. Tak např. jak jsme uváděli dříve, je konec tubusu na stroji RTM II opatřen naušnicí, kde má jeho průměr je asi 3x menší průměr nitě tubusu. To má za následek, že musí být materiál lincek protlačován skrz otvor. Je tu však nebezpečí, že může dojít k úniku, vzniká u těchto spojích materiálů.

Proto jsem volil vhodné ukončení vzhledem ke druhu materiálu, který nám nabízí. Je to pomocí nitky, která má tvar korunkiny. Takováto uspořádání se nachází na stroji Kovosa.

V mnohých případech je opatřen konec Snaku dalším chodem, což je dobré u materiálu jako například. V našem případě to není nutné, protože plocha průřezu nitky je menší než plocha vnitřního Snaku. Materiál bude proto procházet větší rychlostí než je tomu v prostoru mezi tubusem a Snakem.

Uvedme si nyní několik vypočtů, které nám přesněji vyřeší některé problémy. Plocha průřezu materiálu mezi tubusem a Snakem je

$$S_1 = \frac{\pi}{4}(D^2 - d^2) - 4 \cdot \frac{1}{\sin \alpha} \cdot \frac{D}{2} \cdot \frac{d}{2}$$

$$S_1 = \frac{\pi}{4}(1,35^2 - 0,3^2) - 0,09 \cdot \frac{1}{\sin 27,5^\circ} \cdot 1,35 \cdot 0,3 = 1,27 \text{ cm}^2$$

$S_2$  = plocha průřezu

$D = 135 \text{ mm}$

$d = 30 \text{ mm}$

Výstřih	Srovnání dárkovat	Katastra 55	
Klasifikace		15-17-11	str. 22

1.20 mm  
 $\alpha = 77,5^\circ$   
 viz. obr. 1.7./2/

Plocha průřezu míčky, kterou prochází materiál  
 viz. obr. 57 a 58.

$$S_{pr} = \frac{1}{4} d^2 = 1.1.20$$

Skupinová plocha průřezu  
 $S = 120 \text{ mm} / \text{vstřil. míčky} /$

$$S_{pr} = 1.22 \cdot 0.34 \cdot 0.43 \cdot 20 = 3.60,77 \text{ dm}^2$$

4 mm / 10 kolíků /  
 1 mm 45 mm / celka kolíků /  
 20 kusů kolíků

Poměr vypočtených ploch má význam jak vzhledem k velikosti význam. Důležité zde je, že je plocha 50 menší než plocha 55, protože míčky jsou velmi malé, bylo by zde nebezpečí, že se málo částic materiálu dostane a výsledná měření by byla nepřesná.

Význam má tvar této míčky, která je dobře vidět z obrázku na výkrese. Kolíky jsou právě umístěny pod maximální šířkou a uprostřed, kde je míček široký je volné místo.

Právě v tom spočívá význam této míčky, protože v místě, kde by měl materiál vypadnout, tak je držen v místě, kde žádný materiál není, což je podstatou jeho účelu, není nutno žádné opatření.

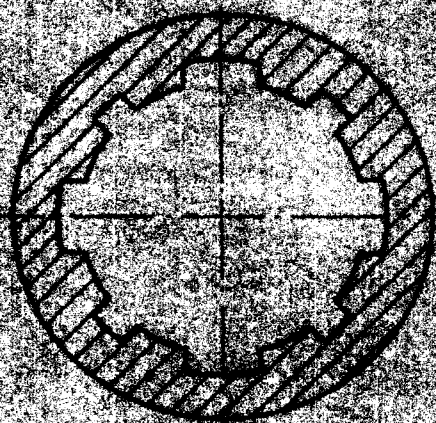
Konstrukční uspořádání míčky je určité a dle popisu, protože je velmi dobře vidět z výkresu.

### 3.6. Uložení Snaku

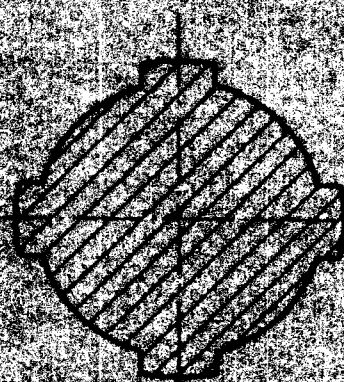
Snak je uložen pouze v jednom bodě. Dále potom je veden s milimetrovou vůlí takzvaně. Takovému uspořádání uložení je v těchto dárkových nejbližší.

Způsob uchycení v jednom bodě je realizován drážkami na hřbídeli Snaku a v náboji, viz. pozice 59. Je zde celkem 8 drážek v náboji a 4 drážky na hřbídeli. Z těchto 8 drážek v náboji jsou 4 drážky širší a 4 užší. Tyto 4 drážky širší odpovídají 4 malíčkové na hřbídeli, které se používají náboje. Snak se potom sestává z 1/8 otáčky, tzn. že ty 4 malíčkové spadnou na všechny drážky náboje. Toto je poměrně nejjednodušší způsob uchycení Snaku, protože zde odpadá každý, frézování složitě drážky v náboji apod. Na obr. 3.6./1. je vyobrazen způsob těchto drážek.

Náboj



Hřbídel



Obr. 3.6./1.

$$t = 8 \text{ mm}$$

$$\alpha_s = 27,5^\circ$$

viz. obr. 3.3./2/

Plocha průřezu mřížky, kterou prochází materiál viz. posice 57 a 58.

$$S_m = \frac{\pi D^2}{4} - d \cdot l \cdot 20$$

$S_m$  = plocha průřezu

$D$  = 120 mm /světln. mříž./

$$S_m = \frac{\pi}{4} \cdot 1,2^2 - 0,04 \cdot 0,45 \cdot 20 = 0,77 \text{ dm}^2$$

$d$  = 4 mm /Ø kolíků /

$l$  = 45 mm /délka kolíků/

20 = počet kolíků

Poměr výpočtených ploch nemá nijak zvlášť velký význam. Důležité zde je, že je plocha  $S_m$  menší než plocha  $S_s$ , protože kdyby tomu bylo naopak, bylo by zde nebezpečí, že se může část materiálu oddělit a vypadnout ven a dávkování by bylo nepřesné.

Větší význam má tvar této mřížky, který je dobře vidět z obrázku na výkrese. Kolíky jsou právě umístěny pod mezikružím šneku a uprostřed, kde je hřídel šneku je volné místo.

Právě v tom spočívá význam tvaru mřížky, protože v místě, kde by mohl materiál vypadnout, tak je držen a v místě, kde žádný materiál není, to je pod průřezem jádra šneku není nutno žádné opatření.

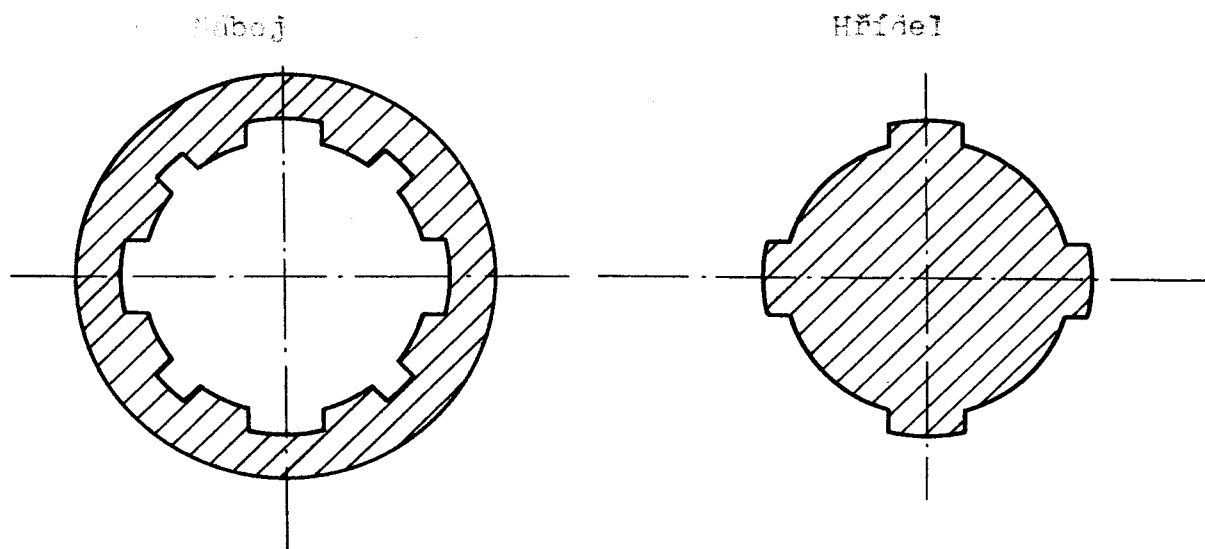
Konstrukční uspořádání mřížky je zbytečné dále popisovat, protože je zcela zřejmé z výkresu.

### 3.6. Uložení šneku

Šnek je uložen pouze v jednom bodě. Dále potom je veden s milimetrovou vůlí tubusem. Takovéto uspořádání uložení je u těchto dávkovačů nejběžnější.

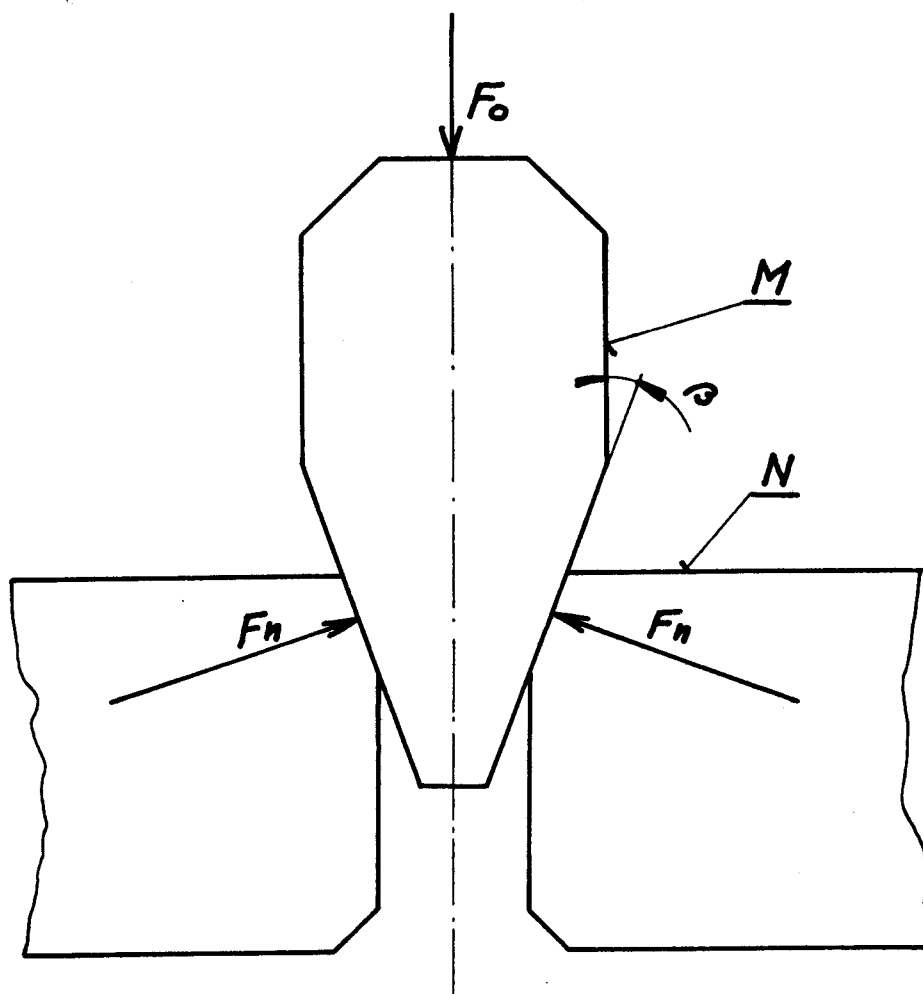
Způsob uchycení v jednom bodě je realizován drážkami na hřídeli šneku a v náboji, viz. pozice 59. Je zde celkem 8 drážek v náboji a 4 drážky na hřídeli.

Z těchto 8 drážek v náboji jsou 4 drážky širší a 4 užší. Těmto 4 drážkám širším odpovídají 4 mezidrážky na hřídeli, které se prosunou nábojem. Šnek se potom pootočí o  $1/8$  otáčky, tzn. že ty 4 mezidrážky spočinou na užších drážkách náboje. Toto je poměrně nejjednodušší způsob uchycení šneku, protože zde odpadá kolík, trázování plochité drážky v náboji apod. Na obr. 3.6./1. je vyzobrazen způsob těchto drážek.



obr. 3.6./1/

Nyní je třeba si na takové to jedné drážce ukázat silový rozbor. Podávám vám o tom přehled obr. 3.6./2/.



$\beta$ .....úhel ústí drážky  $20^\circ$

$F_o$ .....osová síla

$F_o = G - R$

$G$ .....váha šneku

$R$ .....reakce pružiny

$M$ .....mezi drážka hřídele

$N$ .....náboj

obr. 3.6./2/



VŠST Liberec	Šnekový dávkovač	Katedra ČS	
Fakulta strojní		DP-BP-41	str. 26

### 3.7. Uložení dávkovače na stroji BTH 13

Balicí stroj BTH 13, k němuž je tento dávkovač konstruován má základovou desku o rozměrech 1000x900 mm. Tato velikost zcela spolehlivě umožní ustavení dávkovače na její horní rovinu. Uchycení je provedeno 4 šrouby M16, které spojují patku pos. 67 s výše uvedenou deskou.

Celý dávkovač je otočně nasazen na stojan stejné polohy jako je patka, což je současně přání Članických strojírů. Má to velkou výhodu a sice po stránce údržby, montáže a demontáže některých dílů dávkovače. Dojde-li např. k ucpání nebo znečištění násypky, tubusu, šneku apod. uvolní se šroub pos. 118 a celý dávkovač se otočí o 90°. V této poloze se bude spodní otvor násypky nacházet mimo základovou desku, čím je umožněno spolehlivé čištění.

### 3.8. Řízení velikosti dávky

Velikost dávky v našem případě řídíme obdobně jako u dávkovačů pod bodem d / kapitoly 2.2., je s tím rozdílem, že zdvih hřebene není určován poloměrem kliky, ale dorazem který tvoří kámen polohy 4.

Tímto dorazem na kterém je koncový spínač poříždíme doleva nebo doprava pomocí pohybového šroubu polohy 2., čímž nastavujeme velikost zdvihu hřebene a tím i velikost dávky. Toto nastavení lze provádět, jak vidno z výkresu, kolečkem polohy 43, které je dostupné z místa obsluhy. Současně je možno seřizovat dávku

i za chodu stroje.

Přesnost dávky bude daná stoupáním závitu pohybového šroubu. Stoupání je 2 mm a to je 1% z maximálního zdvihu 200 mm. Představuje to jedno otočení kolečka, z čehož plyne ještě přesnější nastavení dávky než 1% z celkového objemu. Jeví se tedy proto takovéto uspořádání příznivé, ale ještě k tomu přistupují další vlivy, které jsou popsány a teoreticky rozebrány v další kapitole.

Kontrutční uspořádání je dobře vidět z výkresu sestavení a to jednak v náryse i v půdoryse. Vůle pohybového šroubu je vymezena dvěma maticemi M16x1,5 pos. 70 a vůle mezi závitem šroubu a závitem náboje, který tvoří těleso dorazu, je daná licováním závitů.

Je to nutné proto, že případná vůle, která by v tomto zařízení vznikla, by mohla do značné míry ovlivnit přesnost dávky. Proto jsem raději volil větší rozměry součástí, aby nedošlo k brzkému opotřebení a tím i selhávání funkce zařízení.

VŠST Liberec	Šnekový dávkovač	Katedra ČS	
Fakulta strojní		DP-BP-41	str. 28

#### 4. TEORETICKÝ ROZBOR DÁVKOVAČE

V této kapitole se budeme převážně zabývat rozbohem pneumatického pohonu, který je obstarávan válcem.

Důvod k volbě pneumatiky plyne z technických podmínek řešení, které jsou uvedeny v zadání.

##### 4.1. Výpočet velikosti válce

Vycházíme z kroutícího momentu potřebného k pohonu šneku, míchadel, tření ucpávek a hřídelových těsnění " Dufero ".

Jak je uvedeno v kapitole 3. odstavce 3.3., není třeba žádného kroutícího momentu pro pohyb šneku, ale přichází tady v úvahu ještě tření látky o jádro šneku a protlačování materiálu mřížkou. Toto však není možné přesně, určit, rovněž jako odpor míchadel, proto jsme nuceni provést pouhý situační výpočet.

Zplanimetrováním míchadel pos. 42, jsme zjistili, že jejich plocha, tzn. obou ramen, je asi  $1 \text{ dm}^2$ . Těžiště těchto ploch je hloupce asi 12 cm pod povrchem materiálu a vzdálenost od osy rotace je 14 cm.

Tlak v této hloupce  $p_x$  tedy je

$$p_x = \gamma \cdot h = 0,926 \cdot 12 = 11,1 \text{ p/cm}^2.$$

$\gamma$ .....sypná váha

$h$ .....hloubka

těž. plochy

Čili velikost síly  $T$  je

$$T = S \cdot p_x = 100 \cdot 11,1 = 1110 \text{ p} = \\ = 1,11 \text{ kp.}$$

$T$ .... tangenciální  
odpor míchadel  
 $S$ .... plocha míchadel  
 $p_x$ .... výše vypočtený  
tlak

Velikost kroutícího momentu  $M_k$  bude

$$M_k = T \cdot r = 1,11 \cdot 14 = 15,6 \text{ kpcm.}$$

$T$ ... výše vypočtená síla  
tj. 1,11 kp  
 $r$ ... vzdálenost těžiště  
plochy míchadel od  
osy rotace

Podle toho lze usoudit, že odpor proti otáčení šneku v  
materiálu bude asi 5 kpcm.

Součet těchto kroutících momentů, vynásobených pří-  
slušnými převody, nám dá výsledný kroutící moment na  
pastorku  $P_1$ , obr. 3.4./1/.

Kroutící moment potřebný pro míchadlo...  $M_{km}$

" " " " šnek...  $M_{kš}$

Výsledný moment je

$$M_k = M_{km} \cdot i_m + M_{kš} \cdot i_{š} = \\ = 15,6 \cdot 1,23 + 5 \cdot 3,82 = \\ = 38 \text{ kpcm.}$$

$i_m$ ... převod mezi pasto-  
rkem  $P_1$  a míchadlu  
 $i_{š}$ ... převod mezi pasto-  
rkem  $P_1$  a šnekem  
 $i_m = 1,23$   
 $i_{š} = 3,82$

Připadá v úvahu ještě tření těsnících kroužků "Gufero". Toto tření se volívá asi 10% z celkového odporu.

Čili výsledný krouticí moment bude

$$M_k = 38,1,1 = 41,8 \text{ kpcm.}$$

Výsledný krouticí moment vypočtený tzn. 41,8 kpcm, bude muset vyvodit hřeben v záběru s pastorkem  $P_1$ .

Síla  $F$  na hřebeni  $H$  bude

$$F = \frac{10 \cdot M_k}{z_1} = \frac{10 \cdot 41,8}{17} = 24,6 \text{ kp.}$$

$$M_k = 41,8 \text{ kpcm}$$

$$z_1 = 17$$

Síla na pístu bude zvětšena o stráty v upávkách, které činí asi 15% z celkové síly, tzn. že

$$F = 24,6 \cdot 1,15 = 28,3 \text{ kp.}$$

Této síle odpovídá  $\emptyset$  pístu  $D$  při tlaku vzduchu 6 atp.

$$D = \frac{4F}{\pi p} = \sqrt{\frac{4 \cdot 28,3}{\pi \cdot 6}} = 2,5 \text{ cm.}$$

Z důvodů případného kolísání tlaku vzduchu v potrubí a zrychlování translačních a rotačních hmot volíme průměr pístu a tím velikost vnitřního průměru válce na 40 mm.

4.2. Rozbor proudění vzduchu

Pokud bychom neměli na vstupu do válce škrtkový ventil, tak by rychlost pístu a tím i rychlost dávkování byla docela jiná, než jaké je zapotřebí.

4.2.1. Výpočet rychlosti pístu bez škrtkového ventilu

Máme k dispozici vzduch o tlaku 6 kp/cm<sup>2</sup>. Průměr válce D je 40 mm. Maximální síla na píst je 28,3 kp. z dvouh posledních údajů si vypočítáme tlak pohánějící píst.

Tlak p bude

$$p = \frac{4 \cdot F}{\pi \cdot D^2} = \frac{4 \cdot 28,3}{\pi \cdot 4^2} = 2,25 \text{ kp/cm}^2$$

$$F = 28,3 \text{ kp}$$

$$D = 4 \text{ cm}$$

Podle Bernoulliho rovnice bude rychlost proudění vzduchu do válce následující:

$$\frac{\Delta p}{\gamma} = \frac{c^2}{2g}$$

$$\Delta p \dots 3,75 \text{ kp/cm}^2$$

$$g \dots 9,81 \text{ m/s}^2$$

$$\gamma \dots 3,8 \text{ kg/m}^3$$

$$c = \sqrt{\frac{\Delta p \cdot 2g}{\gamma}} =$$

$$= \sqrt{\frac{3,75 \cdot 2 \cdot 9,81 \cdot 10000}{3,8}} = 34 \text{ m/s.}$$

VŠST Liberec	Šnekový dávkovač	Katedra ČS	
Fakulta strojní		DP-BP-41	str. 32

Dále potom dle rovnice kontinuity vypočteme rychlosti pístu:

$$\frac{\pi \cdot D^2}{4} \cdot v = \frac{\pi d^2}{4} \cdot c$$

$$D = 4 \text{ cm}$$

$$d = 0,635 \text{ cm}$$

$$c = 3400 \text{ cm/s}$$

$$v = \frac{d^2}{D^2} \cdot c = \frac{0,635^2}{4^2} \cdot 3400 =$$

$$= 86,4 \text{ cm/s.}$$

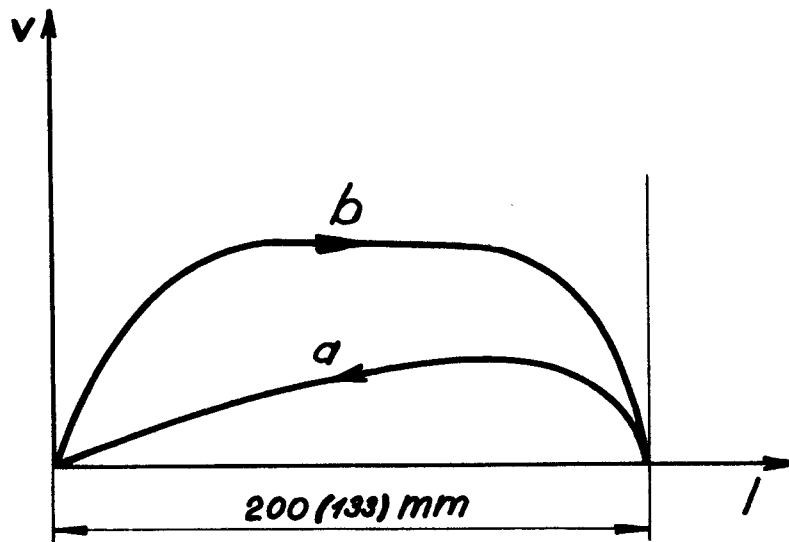
My však potřebujeme, aby se píst pohyboval rychlostí 6,6 cm/s jak, jsme spočítali v octavci 3.1.

Čili z tohoto velkého rozdílu rychlostí plyne nutnost škrticích ventilů k vymezení rychlostí žádaných velikostí.

#### 4.2.2. Funkce škrticích ventilů

Škrticí ventily zde máme dva viz. pos. 89, protože jsme byli nuceni použít dvojčinného válce.

Ventil se montuje do tlakovzdušného přívodu k válci podle šipky, vyznačené na tělese ventilu. Regulaci je možno provádět plynule otáčení šroubu zajištěného maticí. Při seřizování rychlosti pohybu pístu se šroub otáčí doleva /povoluje/, při zvyšování rychlosti se šroub otáčí doprava /utahuje/. Na obr. 4.2./2/ jsou vyznačené rychlosti pístu v závislosti na jeho zdvihu.



$v$  = rychlost pístu

$l$  = zdvih

$a$  = vysouvání  
pístu

$b$  = zasouvání  
pístu

obr. 4.2./2/

Jelikož uvedená rychlost 6,6 cm/s je průměrná, bude maximální rychlost pístu větší, protože se píst uvádí do pohybu z místa.

Toto však už zůstává pouhou otázkou se řízením, kdy je dále ještě zapotřebí seřadit rychlost zasouvání pístu. Proto bude seřízení ventilů různé, jelikož má píst na jedné straně větší plochu a na druhé menší, dále taky že odpor při vysouvání je zdaleka vyšší než odpor při zasouvání pístu.

#### 4.3. Časový systém dávkování

Jak říká nadpis, tak si zde popíšeme a potom schématicky zakreslíme obvod propojení pneumatiky a elektrického řízení.

V kapitole 3. odstavce 3.1. jsme spočítali, že čas

dávkování  $12 \text{ dm}^3$  Remalu trvá 3 vteřiny a čas dávkování  $8 \text{ dm}^3$  je 2 vteřiny.

Nyní zbývá, jakým způsobem dát povel k začátku dávkování a ke konci. Tento problém řešíme pomocí elektromagnetického ventilu a koncového spínače. Znamená to tedy, že když je skončeno sváření v sáčku, vyšle se od čelistí elektrický impuls na elektromagneticky ovládaný ventil typu VE 4D Js - 15, pos. 120.

#### 4.3.1. Elektropneumatický ventil čtveřcestý

Tyto druhy ventilu slouží k rozvodu stlačeného vzduchu do dvou pracovních prostorů, které se mají střídavě plnit a vyprazdňovat vzduchem, jak je tomu např. u dojícných válců pneumatických, což je náš problém.

Ventil je řízen dvěma elektromagnety, na jejichž svorky jsou přiváděny elektrické impulsy. Elektrické ovládání ventilu je tedy impulsní, tzn., že elektrický obvod elektromagnetu se spíná vždy na krátkou dobu, potřebnou pouze pro přestavení ventilu, který již samočinně setrvává v přestavené poloze až do doby sepnutí elektrického obvodu druhého elektromagnetu.

Při sepnutí elektrického obvodu prvního elektromagnetu, proudí stlačený vzduch ventilem na jednu stranu válce a současně vzduch z druhé strany válce proudí do výfuku. Při sepnutí elektrického obvodu druhého elektromagnetu je funkce opačná, stlačený vzduch proudí ventilem na druhou stranu válce a

VŠST Liberec	Šnekový dávkovač	Katedra ČS	
Fakulta strojní		DP-BP-41	str. 35

stlačený vzduch z první strany válce proudí do výfuku.

Popsaný ventil funkčně vyhovuje našemu problému. Čili, pohyb v pístu směrem doleva viz. výkres, je podmíněn sepnutím obvodu prvního elektromagnetu, kdy stlačený vzduch začne proudit na jednu stranu válce. Nastává tedy dávkování.

Hřeben se pohybuje směrem doleva tak dlouho, až narazí na hrot koncového spínače, který dále popíšeme, jenž dá elektrický impuls druhému elektromagnetu a stlačený vzduch začne proudit na druhou stranu válce načež se píst pohybuje směrem doprava, čili se vrací do původní polohy.

V této poloze setrvává ventil i píst až do doby dalšího impulsu od čelistí.

#### 4.3.2. Koncový spínač řady KS 6

Nyní co se týče koncového spínače typu KS 6 F 01, kterého jsme zde použili. Je to výrobek Elektropřístroje n.p. Modřany. Tento typ spínače se používá k ovládní řídicích obvodů elektrických zařízení. Pracovní podmínky takového spínače jsou:

- a/ teplota okolí = 15<sup>o</sup> - 35<sup>o</sup>C
- b/ nadmořská výška do 1000 m
- c/ relativní vlhkost vzduch při 20<sup>o</sup>C  
až do 75%

Dále si uvedeme stručný popis spínače. Vestavná kontaktní jednotka tvoří základní část, která je z lisova-

ného izolantu a nese pevné kontakty. Základní část se připevňuje pomocí dvou šroubů velikosti M4x10. Připevňovací otvory jsou oválného tvaru, což umožňuje přesné seřízení kontaktů. Pohyblivé kontakty jsou uloženy v pohyblivé příčce z lisovaného izolantu. Celá pohyblivá část je zachycena na nazážce a táhlu z polyamidu. Toto uložení dává celému mechanismu vysokou životnost. Ovládací polohy spínače nejsou aretovány - mechanismus se vrací samočinně do výchozí polohy. Základní kontaktní jednotka se vyrábí v provedení s kontakty: zapínacími /1/0/ nebo vypínacími /0/1/.

Technická data:

$I_{nom}$  6 A

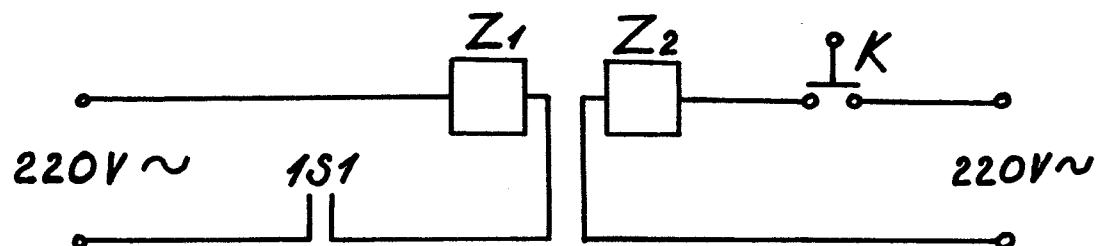
$N_{nom}$  380 V 50 Hz

mechanická životnost  $10^7$  sepnutí

celkový zdvih kontaktního systému je minimálně 4,5 mm

#### 4.3.3. Schéma elektrického a pneumatického obvodu

Na obr. 4.3.3./1/ je nakresleno schéma elektrického obvodu.



obr. 4.3.3./1/

K... koncový spínač se samočinným návratem

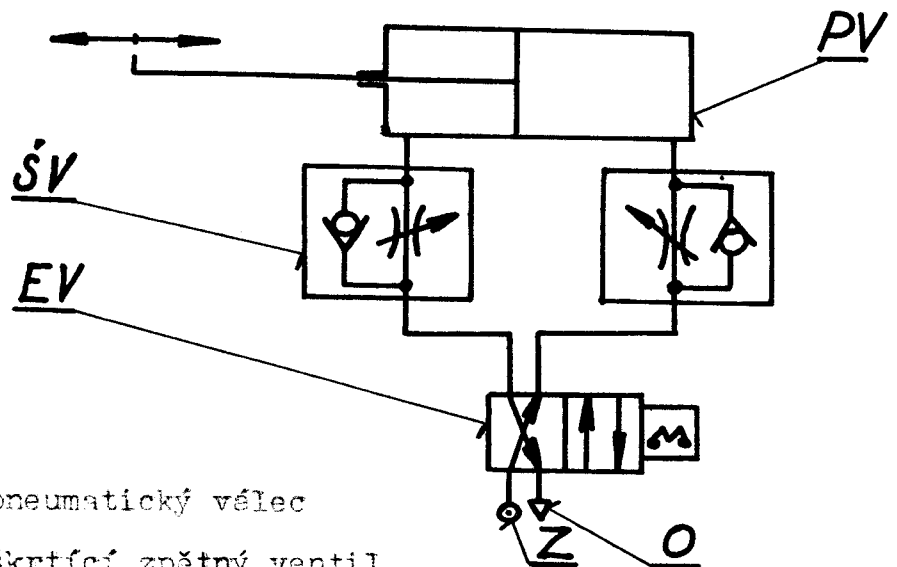
IS1...spínací kontakt pevného spínače

Z<sub>1</sub>...1. elektromagnet ventilu

Z<sub>2</sub>...2. elektromagnet ventilu

220 V.zdroj energie

Na dalším obrázku 4.3.3./2/ je zakreslen pneumatický obvod.



PV.....pneumatický válec

ŠV.....škrťací zpětný ventil

EV.....elektropneumatický čtvřcestný dvoupolohový ventil.

Z.....zdroj tlakové energie

O.....odvětrávání s trubkovou přípojkou

obr. 4.3.3./2/

K tomuto odstavci 4.3. zbývá ještě podotknout, že jak známo je koncový spínač namontován na kameni, který tvoří doraz hřeben . Aby nedošlo k rychlému otloukání tohoto dorazu i hřebene, je nutno nastavit polohu narážky pos. 10 tak, aby byl co nejmenší náraz, čili spínač musí vyslat impuls ještě dříve, než dojde ke styku obou částí.

## 5. ZÁVĚR

Tato práce podává další způsob řešení šnekových dávkovačů. Je na snadě, aby tyto dávkovače byly co nejjednodušší, nejspolehlivější a snáze ovladatelné, což bylo současně předmětem diplomové práce. Pokusil jsem se zde některé věci vylepšit nebo úplně změnit, avšak je to víceméně teoretické studie. V praxi se ukáží ještě další nedostatky a je nutno provádět další rekonstrukce. Jelikož dávkovací zařízení, v našem případě šnekové dávkovače, slouží jako přídatné zařízení balicích strojů, které jsou ještě ve vývoji, bude dlouho trvat než se vyvinou na dostatečnou úroveň. Vývoj balicích strojů a vůbec celé obalové techniky nejvíce závisí na počtu a kvalitě obalových techniků. Tomu to problému přispívá vedle ČVUT v Praze, také VŠST v Liberci, kde je přímo specializace balicích strojů. Čili nyní bude záležet na absolventech, ať už vysoké nebo střední školy, aby přispěli postavit obalovou techniku na úroveň jiných průmyslových odvětví.

Dále bych ještě chtěl uvést, že dávkovací zařízení se nachází z hlediska důležitosti na předním místě celého stroje nebo zařízení. Proto byl také dávkovač stanoven jako téma diplomové práce.

<b>VŠST Liberec</b>	Šnekový dávkovač	Katedra ČS	
<b>Fakulta strojní</b>		DP-BP-41	str. 39

Použitá literatura

- /1/ Dražan-Kupka: Transportní zařízení, Praha
- /2/ Čepelík F...: Mechanizace a automatizace balení, Praha 1963
- /3/ Zoehl Heinz.: Pneumatické stroje a přístroje, Praha 1965
- /4/ Adast.....: Soubor prospektů pneumatických přístrojů a zařízení závod Polička
- /5/ Elektroodbyt: Katalog ZSE, Praha 1
- /6/ Výkresy sestavení stroje BTH 13

Poděkování

Závěrem děkuji ing. Brahomíru Fenclovi, který mně v průběhu řešení diplomové práce, vždy vyšel vstříc a ochotně poradil. Dále bych chtěl poděkovat ještě ing. Andělovi a ing. Drapákovi, kteří mně pomohli v mnohdy i těžkých situacích během studia.

Všem i těm, které jsem zde nejmenoval a kteří svoji laskavostí a ochotou mně přispěli k vypracování tohoto úkolu

děkuji

Prohlášení

Místopřísežně prohlašuji, že jsem diplomovou práci vypracoval samostatně s použitím uvedené literatury.

Liberec 6. července 1973

*Mil Medek*

		Mat. konečný	Mat. výchozí						
	Ø 10	ČSN 426510	11700.00						
1	Šroub Tr 12x2	ČSN 426510	11700.00						
1	Náboj Ø 16x15	ČSN 425522	11500.00						
1	Kámen 74x46	ČSN 425522	11600.00						
2	Vedení 145	ČSN 425520	11600.00						
1	Deska 15	ČSN 425310	11375.23	11375.10					
1	Příruba Ø 295	ČSN 425310	11500.00						
1	Víčko Ø 87	ČSN 426510	11110.00						
1	Kroužek Ø 62	ČSN 426510	11110.00						
1	Narazka 3mm	ČSN 425350	11375.00						
1	Kroužek Ø 20	ČSN 425510	11110.00						
1	Pastorek Ø 34	ČSN 426510	12020.90	12020.00					
1	Kroužek Ø 40x20	ČSN 425510	11110.00						
1	Kolo Ø 130	Kt 21213	12050.90	12050.00					
1	Hřeben 200	ČSN 426520	12060.90	12060.10					
1	Příruba	Svařenec	11375.20	11375.20					
1	Pístnice Ø 16	ČSN 426510	12060.40	12060.40					
1	Nákružek Ø 30	ČSN 425510	11700.30	11700.00					
1	Těsnění Ø 16	ČSN 029310	Prvž						
1	Příruba Ø 50	ČSN 425510	11500.00						
2	Trubka 1/4"	ČSN 425710	10004.00						
2	Matice G 1/4"	ČSN 426530	11500.00						
2	Trubka 1/4"	ČSN 425710	10004.00						
2	Hrdlo G 1/4"	ČSN 426530	11500.00						
2	Těsnění Ø 40	ČSN 029310	Prvž						
1	Válec Ø 40	ČSN 426710	10400.20	10400.00					
1	Píst Ø 40	ČSN 425510	11700.30	11700.00					
1	Těsnění Ø 40	ČSN 029310	Prvž						
1	Příruba Ø 40	ČSN 425510	11500.00						
1	Kmit 2mm	ČSN 425332	10370.00						

Měřítka	Kraj	Č. státní
	Přezkoušel	
	Norm. ref.	
	Výr. přednost	Č. transp.

Změna		

VŠST
ŠNEKOVÝ DÁVKOVAČ
1.BP-41 00.00

Počet listů

Číslo	Název - rozměr	Číslo kódu	Cena základní	Cena včetně	Prv. díl	Č. dílů	Prv. díl	Číslo výkresu	Prv.
	Držák	Svařenec	11375.20	11375.00					31
1	Kladka ø 36	ČSN 425510	11700.60	11700.00					32
1	Kroužek ø 10	ČSN 425510	11110.00						33
1	Těsnění ø 510	ČSN 029310	Prvž						34
1	Kroužek ø 17	ČSN 425510	11110.00						35
1	Pastorek ø 34	ČSN 426510	42020.00						36
I-	Rozpěrka ø 20	ČSN 425510							37
1	Kolo ø 82	ČSN 426510	12050.00	12050.00					38
1	Náboj ø 50	ČSN 425510	11700.00						39
1	Hřídel ø 30	ČSN 425510	11500.00						40
1	Kroužek ø 40	ČSN 426510	14240.40	14240.10					41
I-	Michadla	Svařenec	11375.00						42
1-	Kolečko ø 50	ČSN 425510	11110.00						43
1	Kroužek ø 20	ČSN 425510	11110.00						44
1	Kroužek ø 20	ČSN 425510	11110.00						45
2	Vložka ø 72	ČSN 425510	11800.00						46
2	Vložka ø 20	ČSN 425510	11800.00						47
1	Prstenec ø 55	ČSN 426510	14240.40	14240.10					48
1	Prstenec ø 36	ČSN 426510	14240.40	14240.10					49
1	Kroužek ø 30	ČSN 425510	11110.00						50
3	Váleček ø 10	ČSN 426510	16420.40	16420.10					51
1	Kroužek ø 17	ČSN 425510	11110.00						52
1	Kroužek ø 47	ČSN 425510	11110.00						53
1-	Membrána ø 90	ČSN 622200	Prvž						54
1-	Kryt ø 112	Svařenec	11375.00						55
1	Násypka	Svařenec	11375.20	11375.00					56
1	Nákružek ø 135	ČSN 425510	11500.00						57
20	Kolík ø 4	ČSN 426410	11700.10	11700.00					58
I	Pouzdro ø 22	ČSN 425510	11700.70	11700.00					59
1	Průvlečná ø 18	ČSN 426450	11220.00	11220.00					60

Měřičko	Číslo	Prvž	Číslo snímku
	Prvž		
	Norm. roz.		
	Výr. prac. roz.	Číslo snímku	

Číslo výkresu	Číslo snímku	Číslo snímku	Číslo snímku

VŠST

ŠNEKOVÝ  
DÁVKOVAČ

2.BP-4100.00

	Název - Rozměr	Objednávka	Mat. konečný	Mat. výchozí	Přída oz:	Č. váha	Hr.váha	Číslo výkresu	Pos.
			11500.00						61
	Podložka ø 135	ČSN 425510	11500.00						62
1	Šnek ø 134	ČSN 425510	11110.00						63
1	Matice M 180x6	ČSN 425510	11500.00						64
1	Tubus ø 135	Svařenec	11375.00						65
4	Třsnění ø14x18	ČSN 029310	Pryž						66
1	Deska ø 100x7	ČSN 425510	11600.00						67
1	Stojan ø 105	Svařenec	10500.00						68
1	Ucpávka ø 30	ČSN 425510	11110.00						69
2	Kolík 8x25	ČSN 022150							70
2	Matice M16x15	ČSN 021403							71
1	Podložka 17	ČSN 021702							72
2	Šroub M10x45	ČSN 021143							73
1	Pouzdro 15,5x20r6	ČSN 023499							74
1	Koncový spínač	KS - 6F 01							75
4	Šroub M4x40	ČSN 021131							76
2	Kolík 6x25	ČSN 022150							77
18	Podložka ø 2	ČSN 021740							78
14	Šroub M8x28	ČSN 021101							79
8	Šroub M6x22	ČSN 021101							80
15	Podložka 6,4	ČSN 021702							81
1	Podložka 15	ČSN 021703							82
1	Šroub M8x28	ČSN 021101							83
1	Ložisko 6403	ČSN 024638							84
1	Šroub M6x18	ČSN 021143							85
2	Kroužek 72	ČSN 022931							86
1	Podložka 13	ČSN 021703							87
1	Ložisko 6404	ČSN 024638							88
1	N 404 B	ČSN 024674							89
2	Škrťací ventil	SV 6							90
1	Šroub M10x45	ČSN 021143							90

Číslo	Skupina	Číslo snímku	Změna	Číslo výkresu	Číslo kódu	Číslo zářivky
Norm. ref.	Vyr. předávací	Č. transp.				

**VŠST**

**ŠNEKOVÝ  
PÁVKOVACÍ**

**3.BP-41 00.00**

